

## 4.3 Événement centennal

### 4.3.1 Cartographie de l'aléa submersion marine

Bray-Dune (59) : franchissement de perré



Figure 4-77 : Cartographie de l'aléa submersion modélisé pour un événement centennal

## Malo-les-Bains (59) : franchissement de perré



Figure 4-78 : Cartographie de l'aléa submersion modélisé pour un événement centennal

## Dunkerque (59) : rupture de digue (Canal exutoire)



Figure 4-79 : Cartographie de l'aléa submersion modélisé pour un événement centennal et une brèche de la digue de 50 mètres

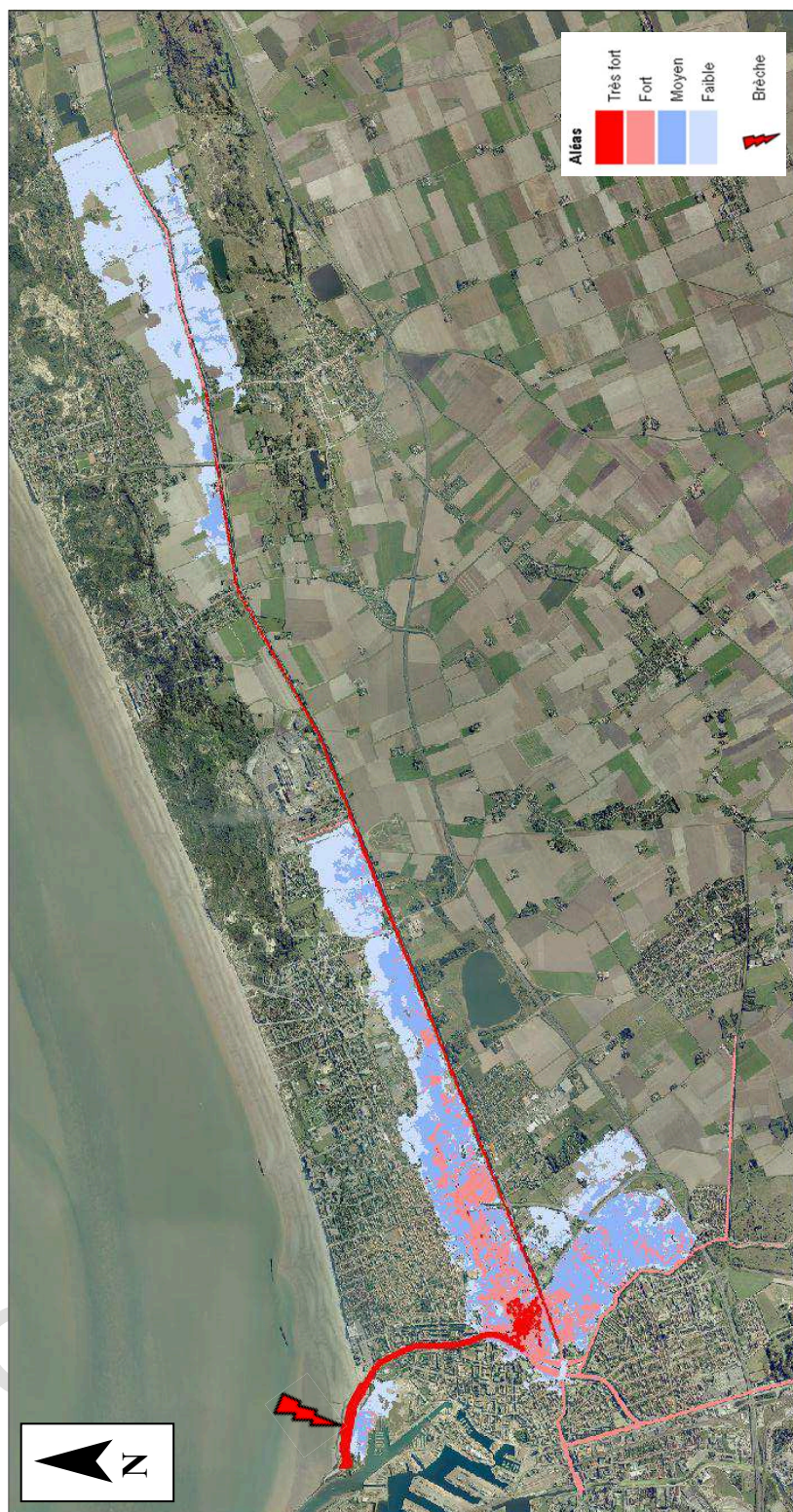


Figure 4-80 : Cartographie de l'aléa submersion modélisé pour un événement centennal et une brèche de la digue de 100 mètres

Il est par ailleurs à noter que les conditions étudiées ici sont significativement différentes de celles observées en 1953. En premier lieu, la rupture de l'ouvrage est 1953 apparût 1h30 plus tard que celle modélisée ici. De plus, le niveau de la mer en 1953 étant également plus faible, ce qui justifie le fait que l'aléa calculé pour l'événement centennal soit significativement plus important que celui observé en 1953.

## Oye-Plage (62) et rives de l'Aa (59) : rupture et débordement

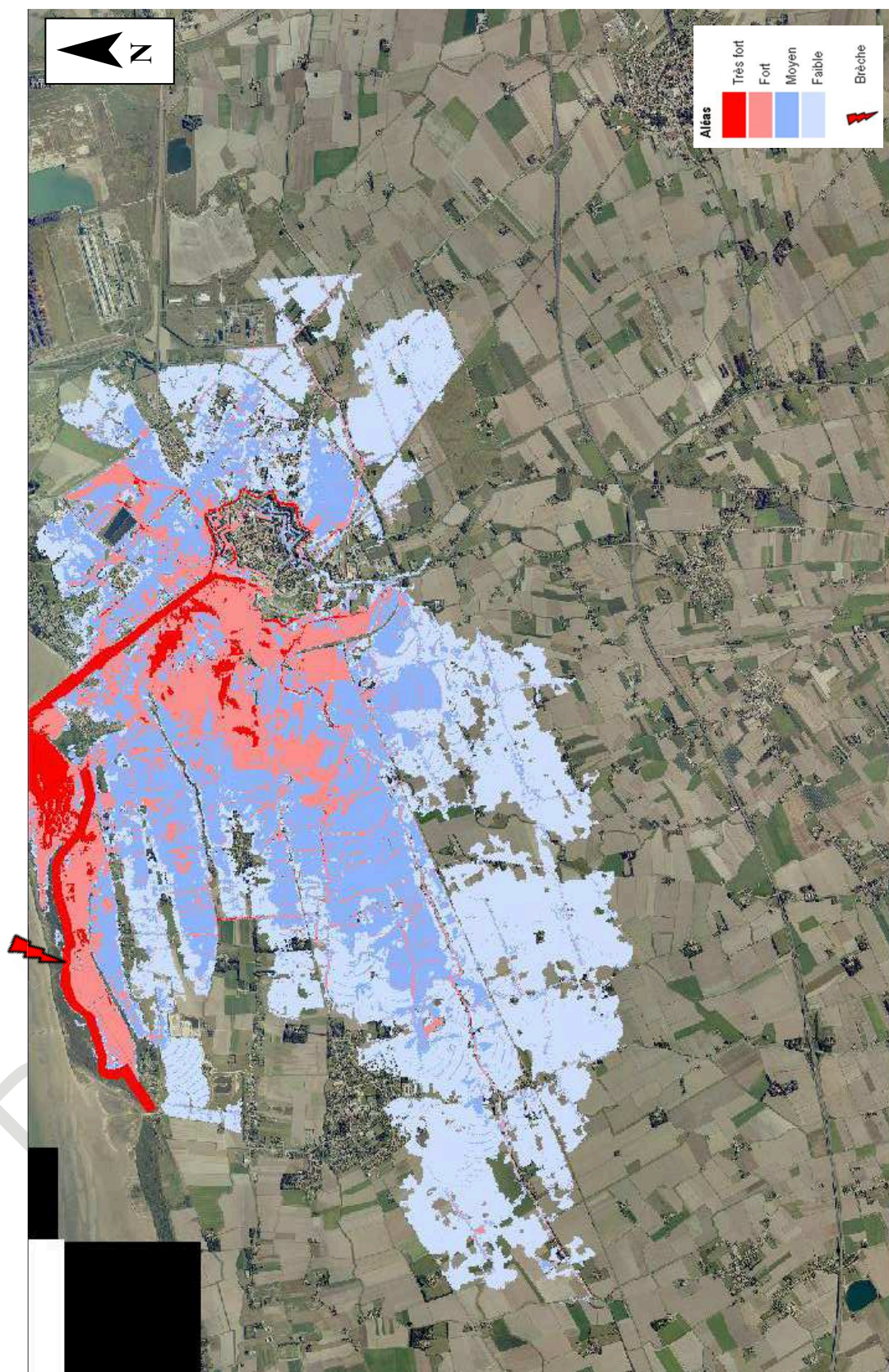


Figure 4-81 : Cartographie de l'aléa submersion modélisé pour un événement centennal et une brèche du cordon dunaire de 30 mètres

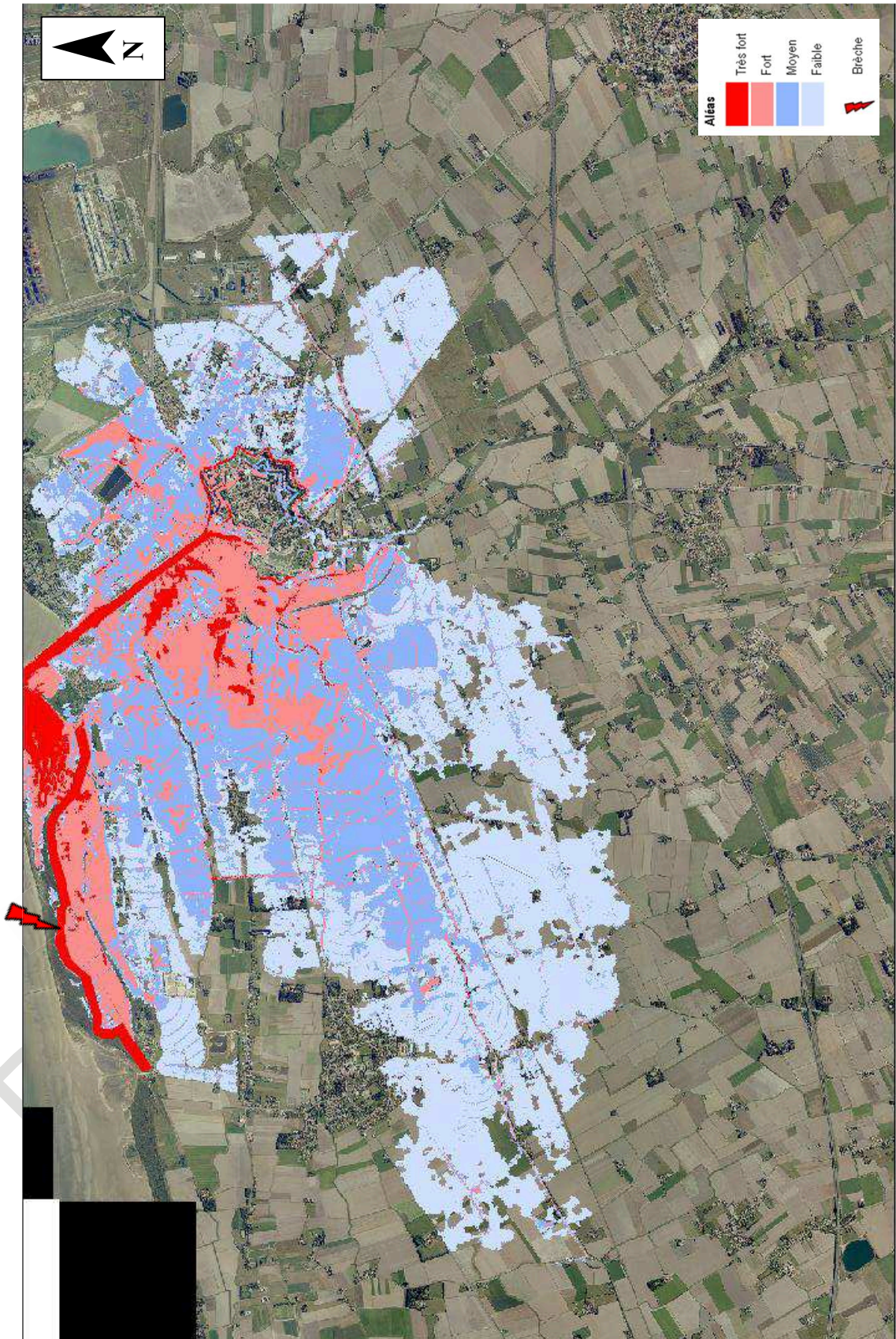


Figure 4-82 : Cartographie de l'aléa submersion modélisé pour un événement centennal et une brèche du cordon dunaire de 100 mètres

## Marck (62) : débordement

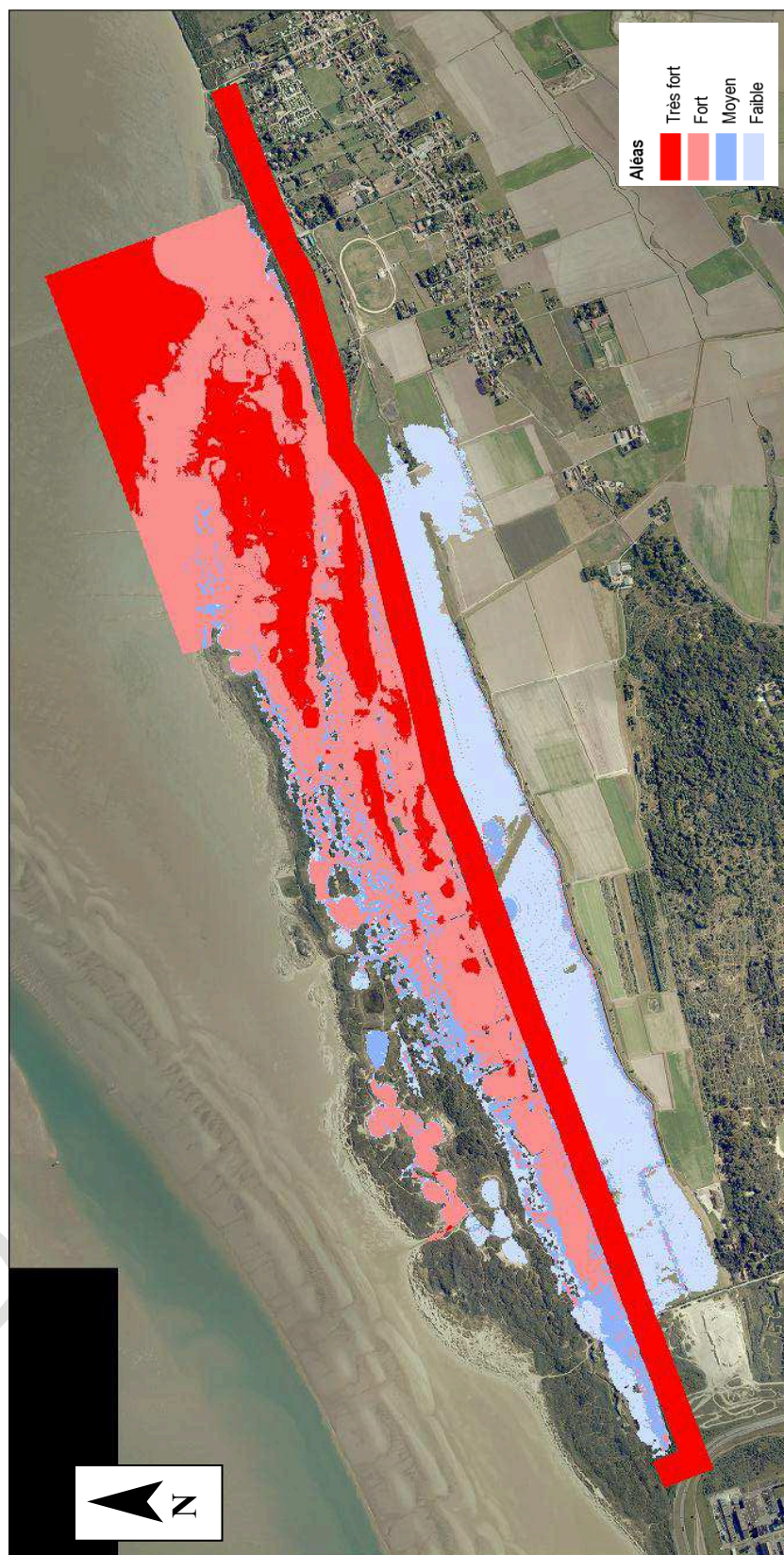


Figure 4-83 : Cartographie de l'aléa submersion modélisé pour un événement centennal

**Calais (62) : débordement de quais portuaires**

Aucun débordement n'est observé sur les quais de Calais pour l'événement centennal.

Document de travail

## Blériot-Plage (62) : rupture du cordon dunaire



Figure 4-84 : Cartographie de l'aléa submersion modélisé pour un événement centennal et une brèche du cordon dunaire de 30 mètres

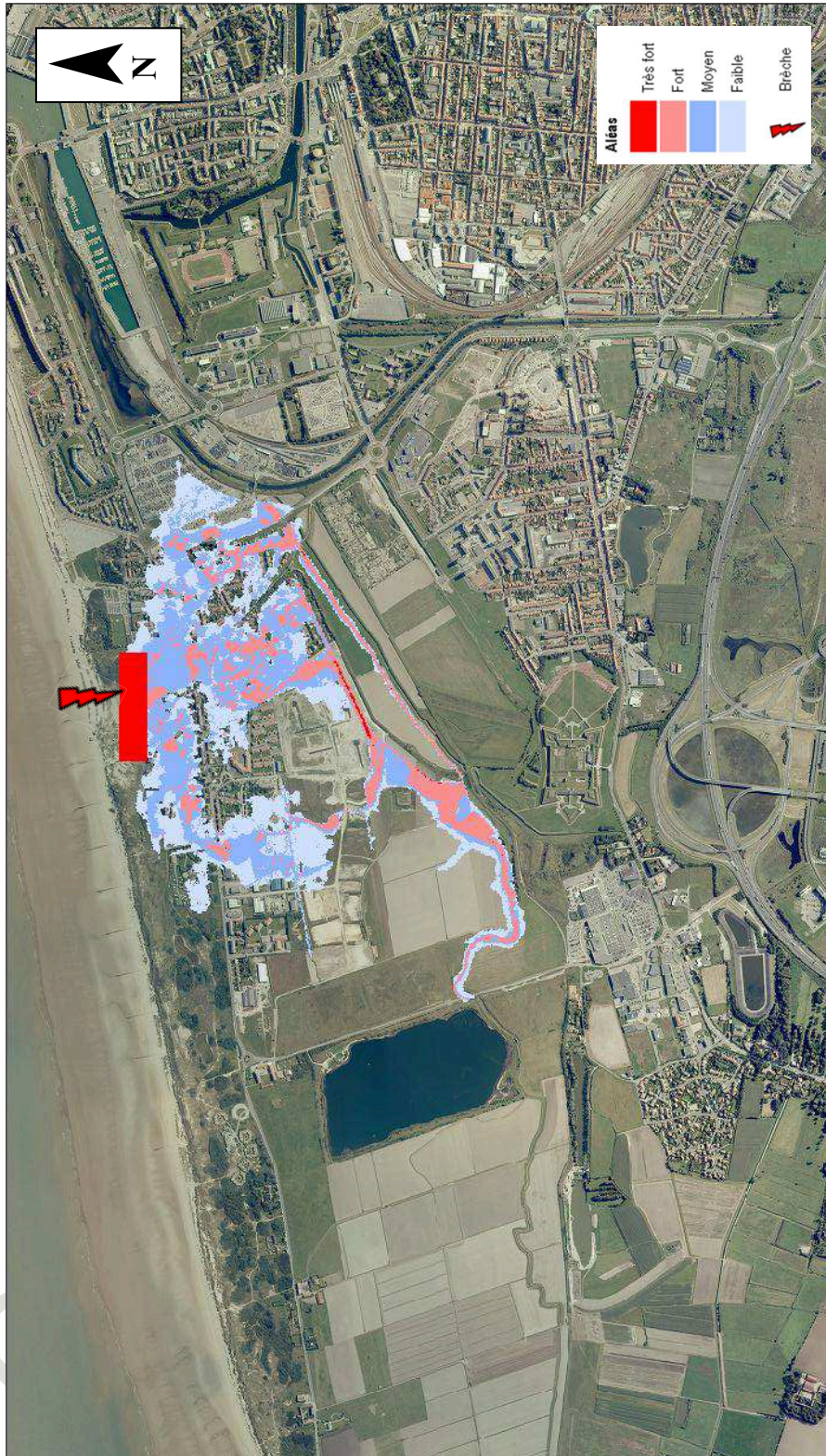


Figure 4-85 : Cartographie de l'aléa submersion modélisé pour un événement centennal et une brèche du cordon dunaire de 100 mètres

## Sangatte (62) : rupture du cordon dunaire

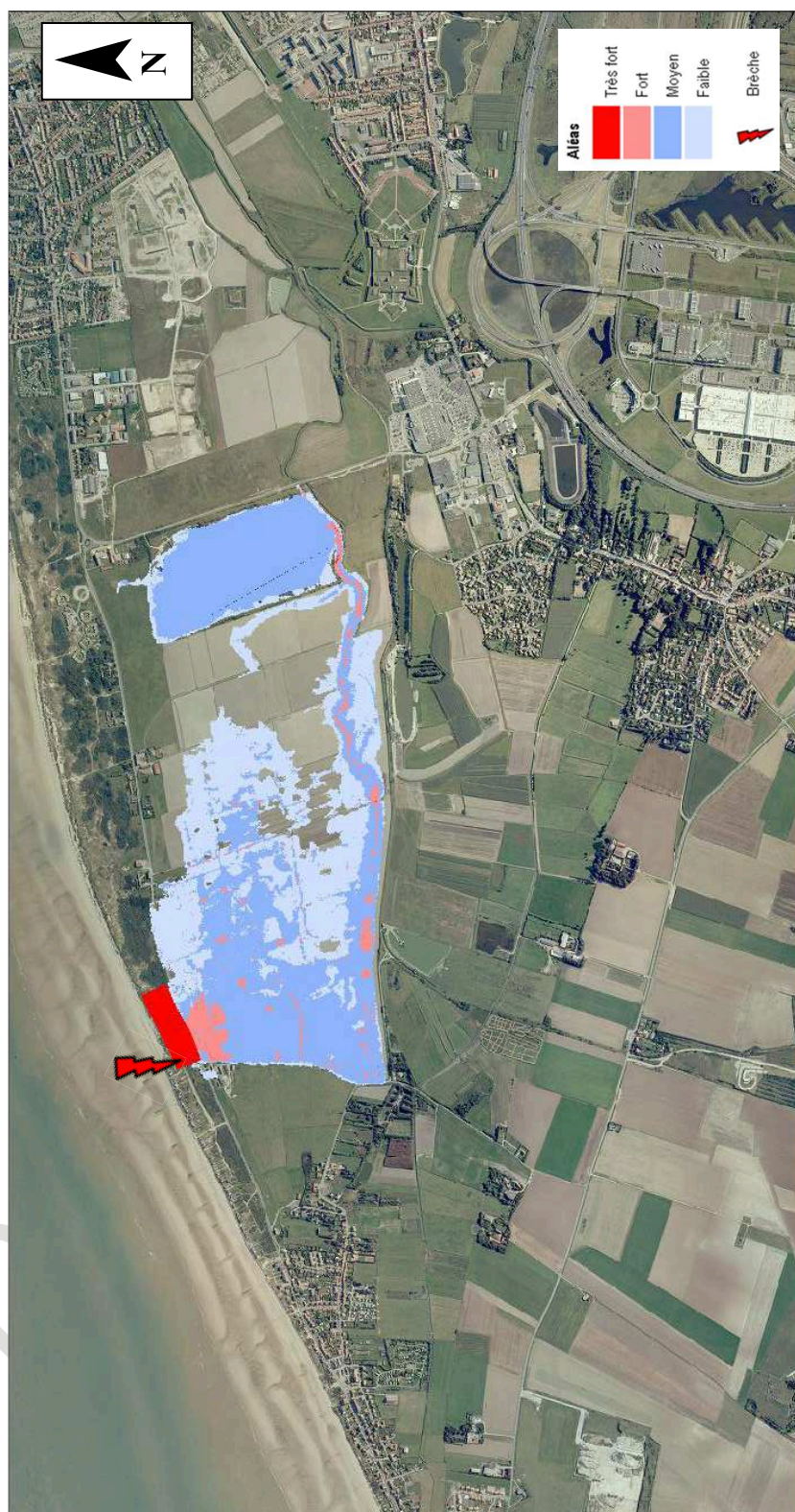


Figure 4-86 : Cartographie de l'aléa submersion modélisé pour un événement centennal et une brèche du cordon dunaire de 30 mètres

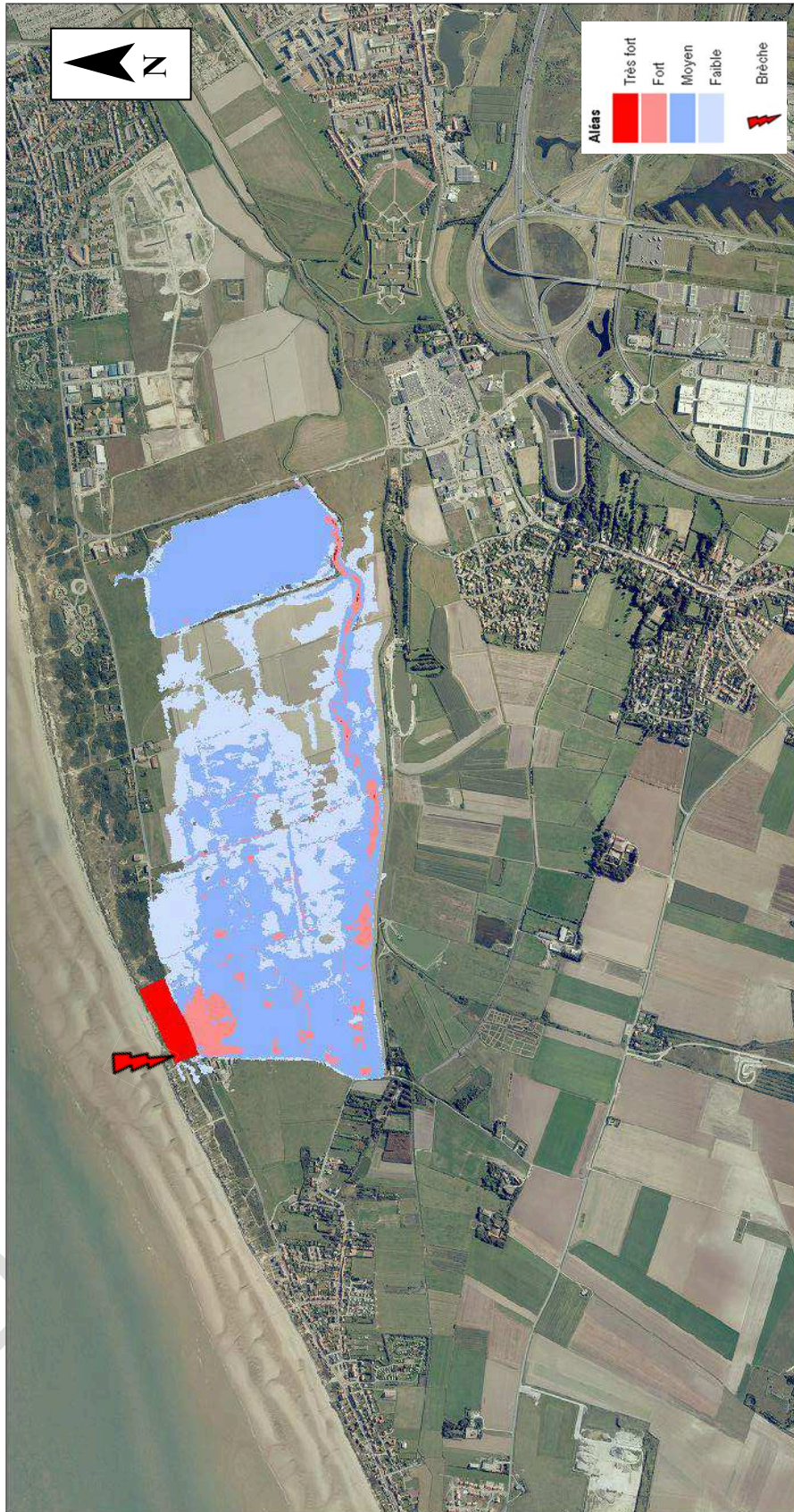


Figure 4-87 : Cartographie de l'aléa submersion modélisé pour un événement centennal et une brèche du cordon dunaire de 100 mètres

## Sangatte (62) : rupture de digue



Figure 4-88 : Cartographie de l'aléa submersion modélisé pour un événement centennal et une brèche de la digue de 15 mètres

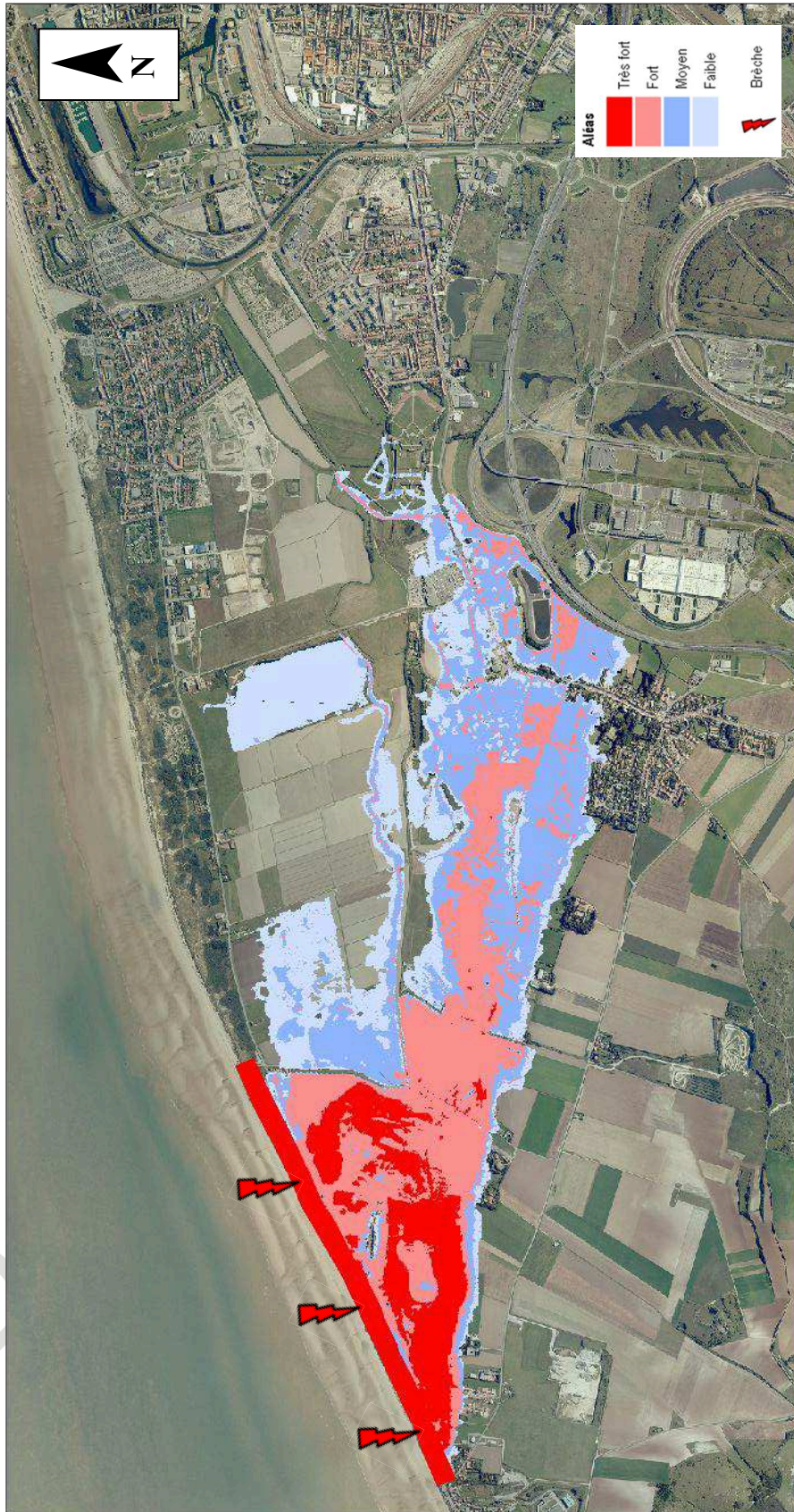


Figure 4-89 : Cartographie de l'aléa submersion modélisé pour un événement centennal et une brèche de la digue de 100 mètres

## Wissant (62) : franchissement de perré

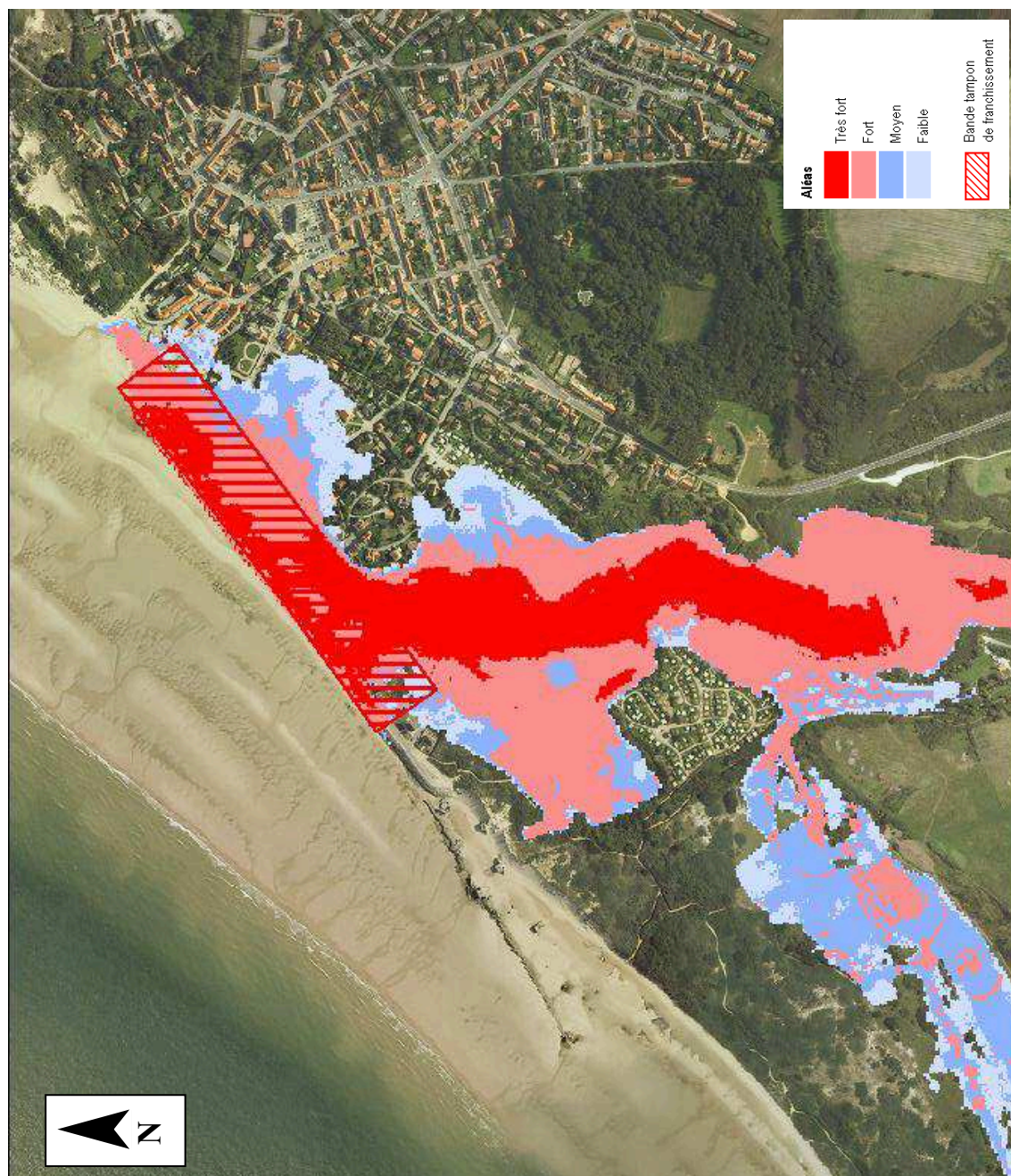


Figure 4-90 : Cartographie de l'aléa submersion modélisé pour un événement centennal

## Tardinghen (62) : rupture du cordon dunaire

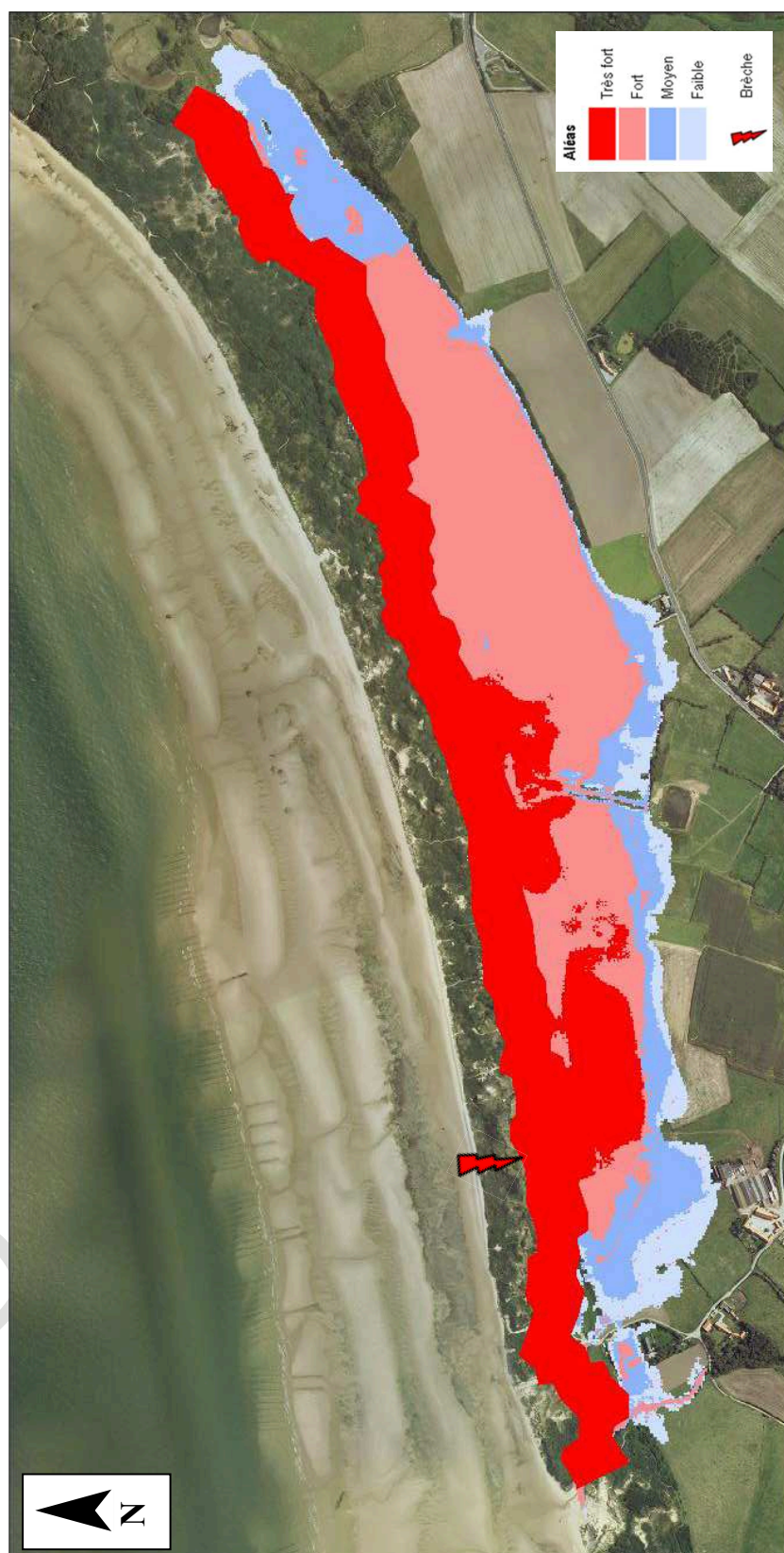


Figure 4-91 : Cartographie de l'aléa submersion modélisé pour un événement centennal et une brèche du cordon dunaire de 100 mètres

## Audresselles (62) : franchissement de perré

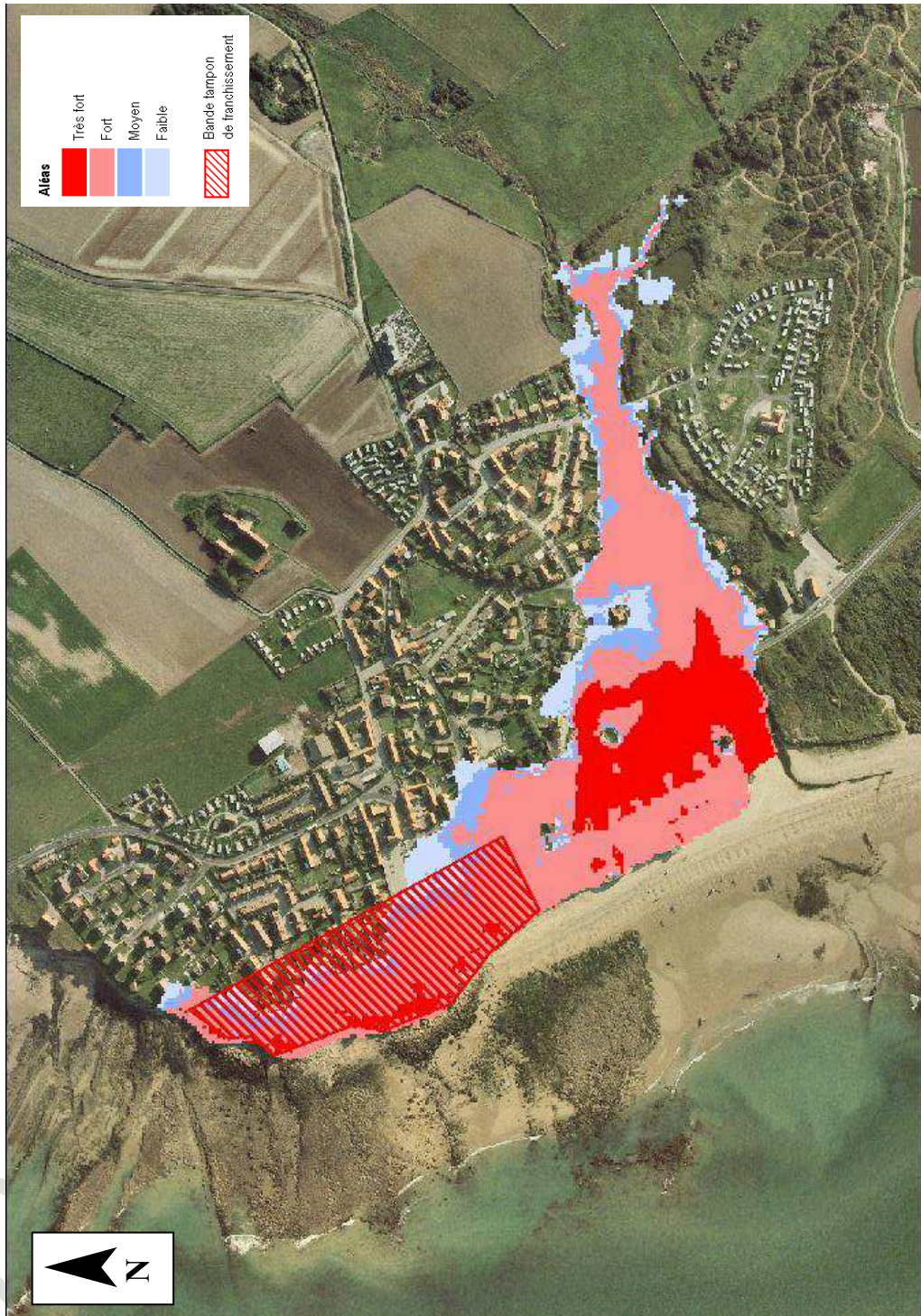


Figure 4-92 : Cartographie de l'aléa submersion modélisé pour un événement centennal

## Ambleteuse (62) : franchissement de perré

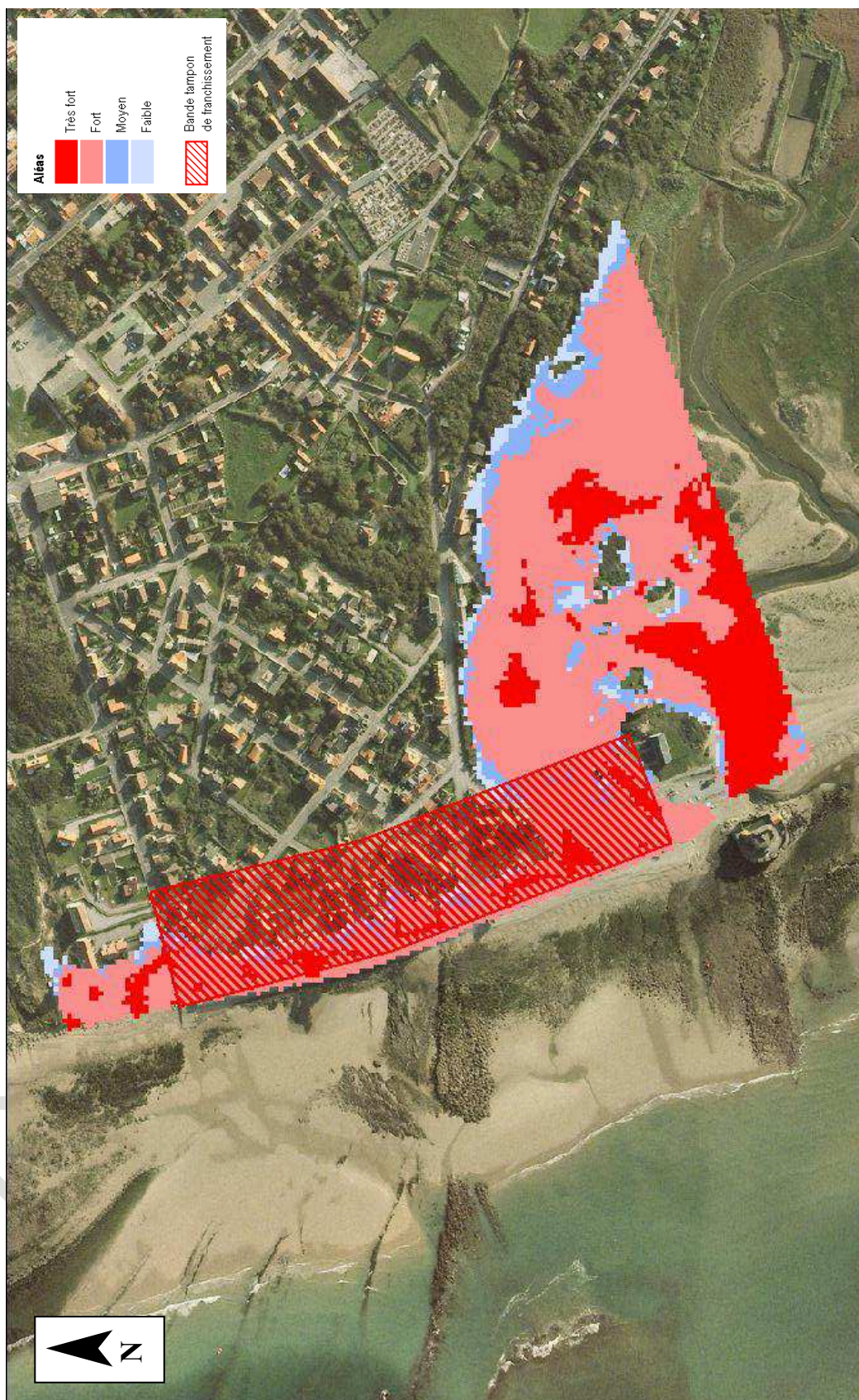


Figure 4-93 : Cartographie de l'aléa submersion modélisé pour un événement centennal

## Wimereux (62) : franchissement de perré

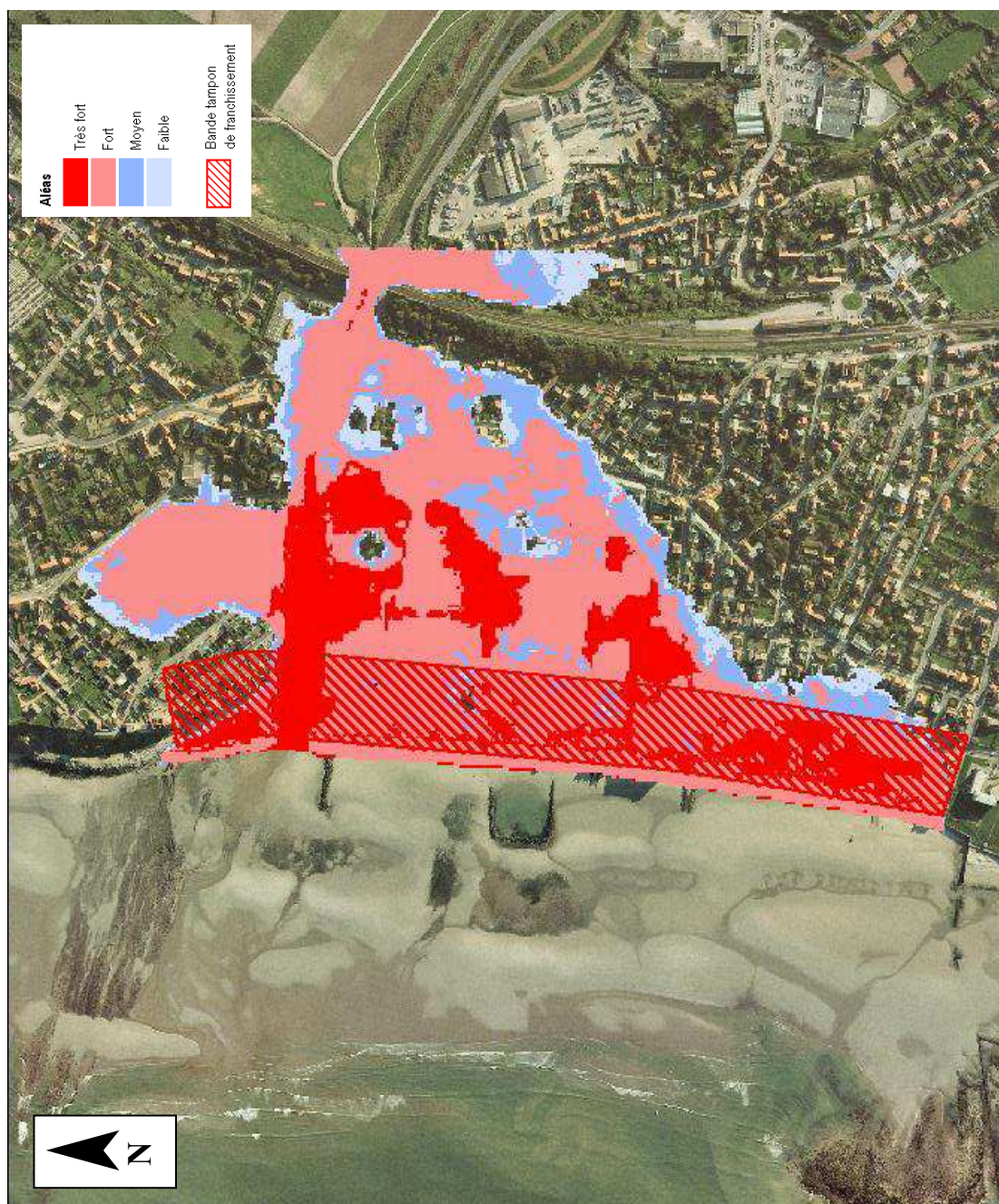


Figure 4-94 : Cartographie de l'aléa submersion modélisé pour un événement centennal

## Etaples (62) : débordement de berges



Figure 4-95 : Cartographie de l'aléa submersion modélisé pour un événement centennial

**Saint-Josse (62) : rupture de digue**

*En attente de données topographiques complémentaires.*

Document de travail

### Le Touquet-Paris-Plage (62) : rupture de digue

Les cartographies présentées ci-après sont des cartographies *temporaires* du fait du manque de données topographiques sur ce secteur.

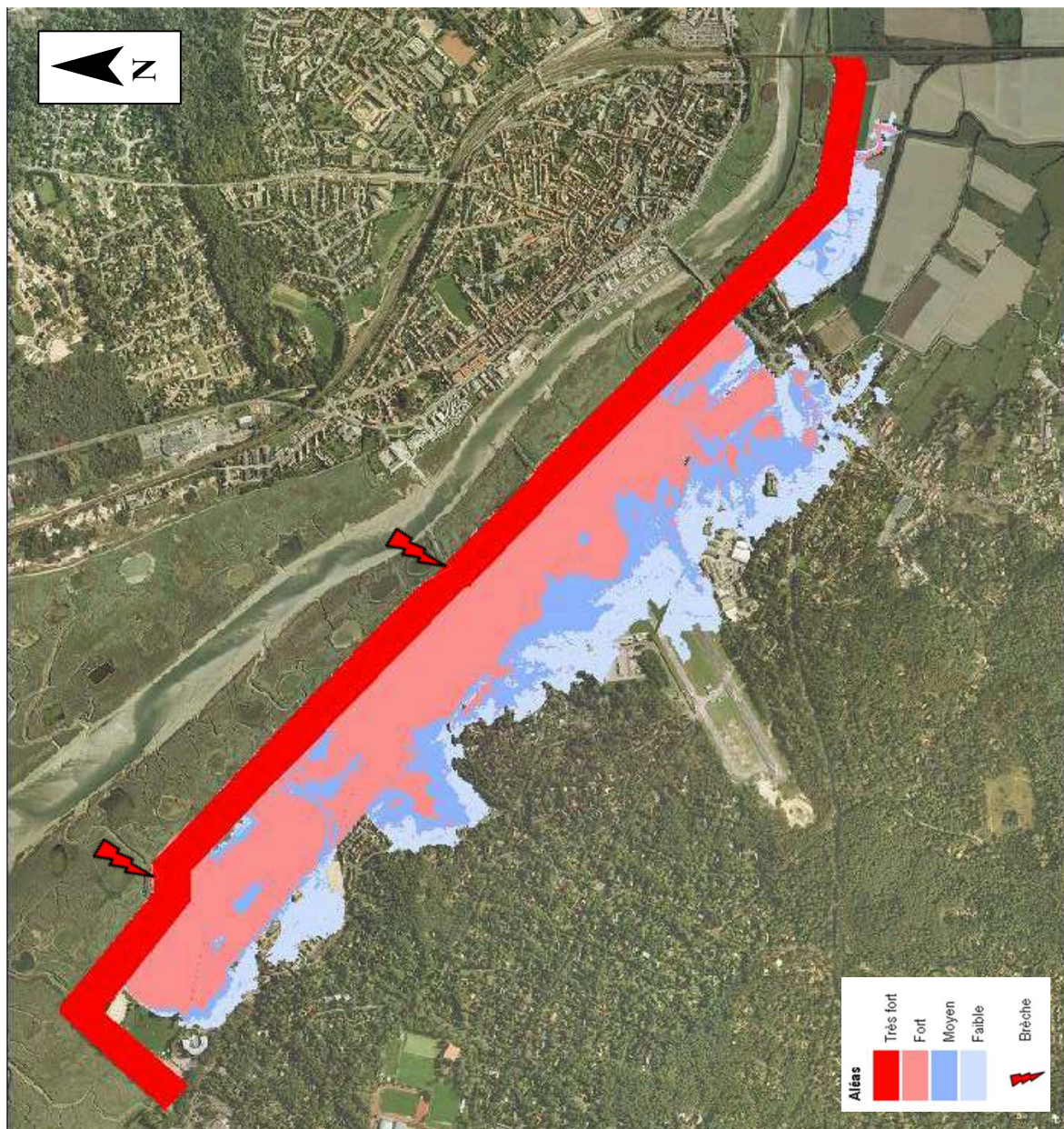


Figure 4-96 : Cartographie de l'aléa submersion modélisé pour un événement centennal et une brèche de la digue de 15 mètres

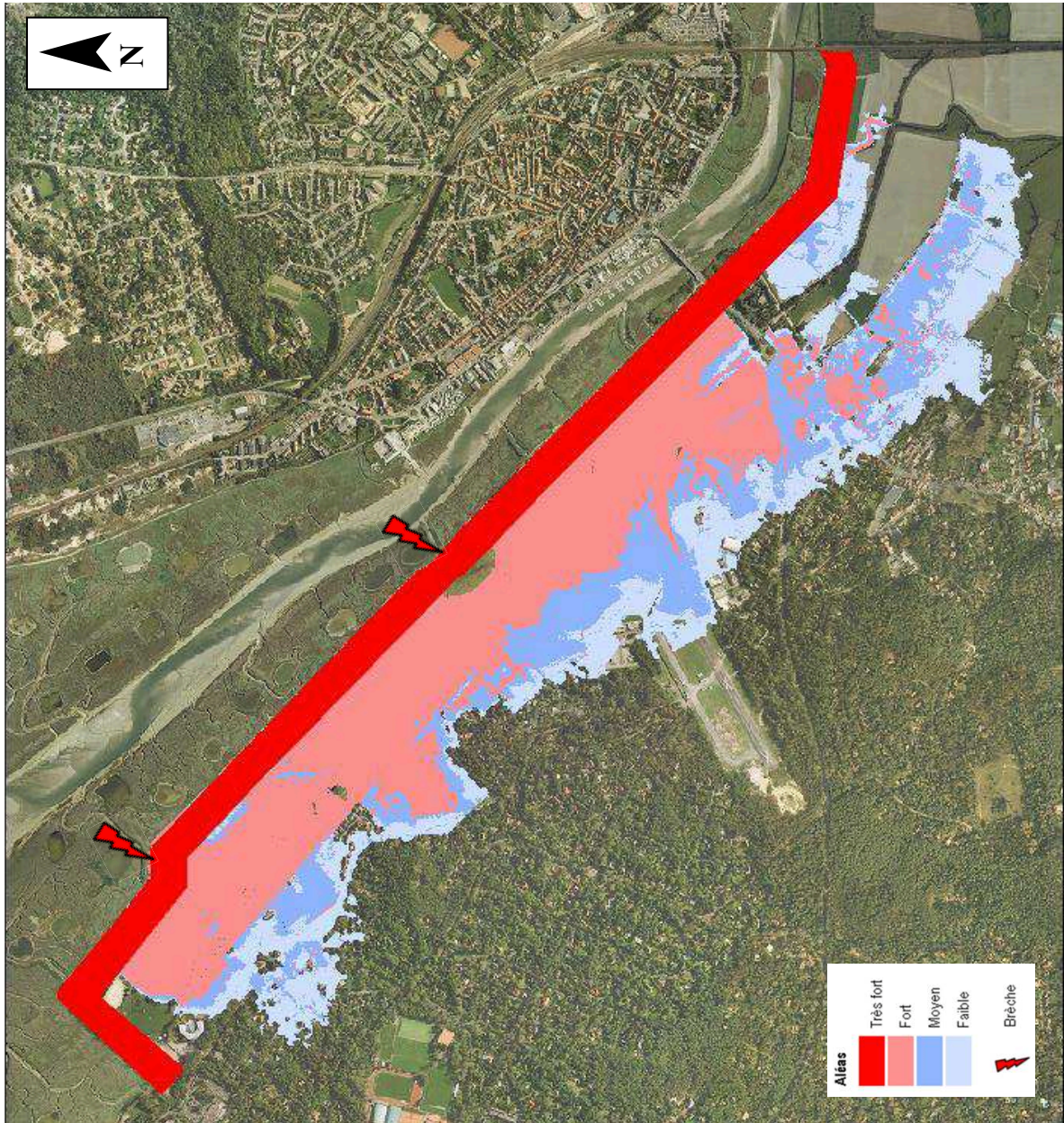


Figure 4-97 : Cartographie de l'aléa submersion modélisé pour un événement centennial et une brèche de la digue de 100 mètres

**Le Touquet-Paris-Plage (62) : rupture de l'ouvrage hydraulique**

*En attente de données topographiques complémentaires.*

Document de travail

**Berck (62) : franchissement de perré**

Aucun franchissement n'est observé pour l'événement centennal.

Document de travail

## Groffliers (62) : rupture du cordon dunaire

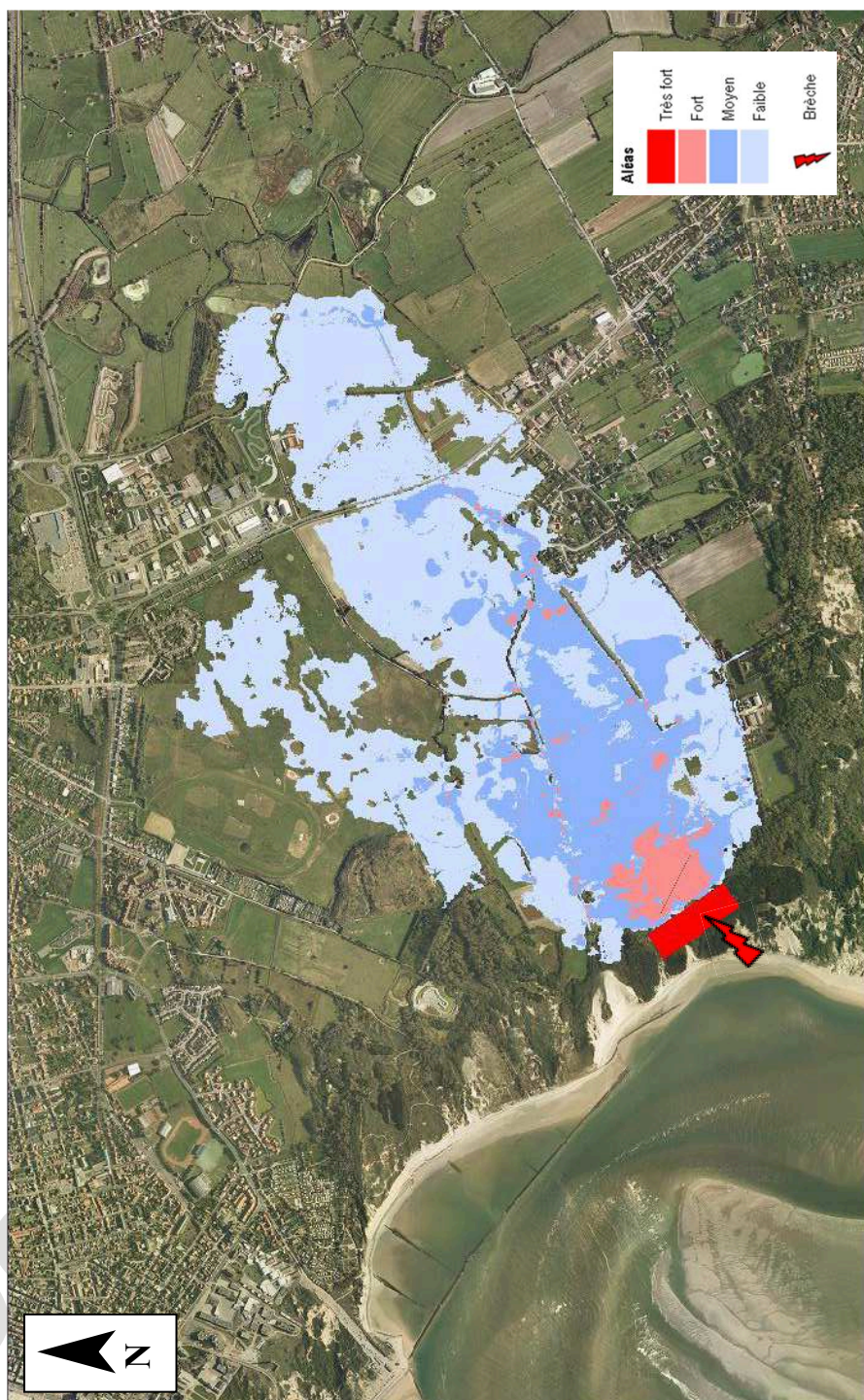


Figure 4-98 : Cartographie de l'aléa submersion modélisé pour un événement centennal et une brèche du cordon dunaire de 100 mètres

## Groffliers (62) : franchissement et rupture de l'ouvrage hydraulique

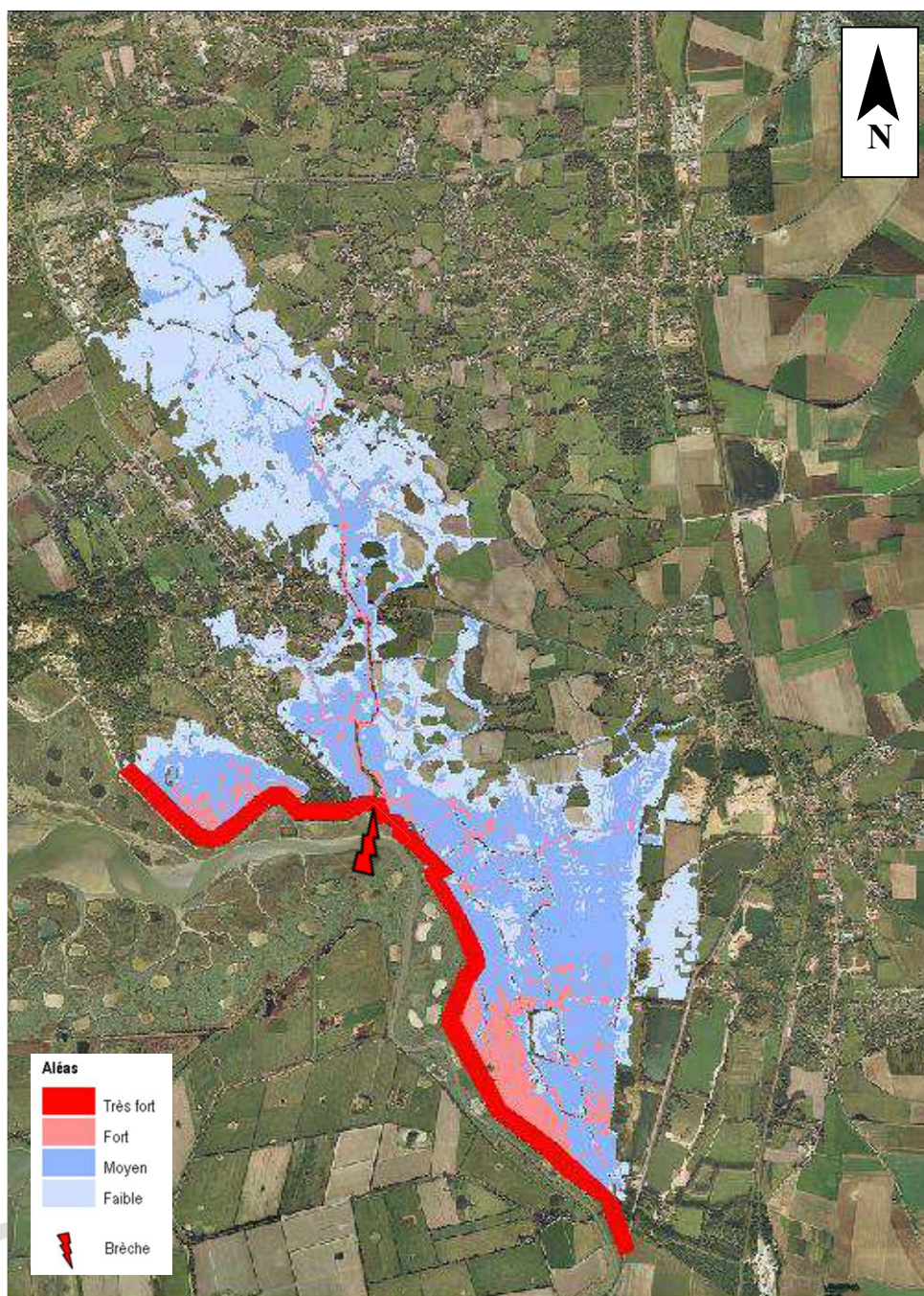


Figure 4-99 : Cartographie de l'aléa submersion modélisé pour un événement centennal et une rupture de l'ouvrage hydraulique de 16 mètres